

V-41

内部鉄筋を有する収縮低減コンクリートの外部拘束ひびわれ試験結果について

八戸工業大学 学員 ○ 千葉 雅之
 " 正員 庄谷 征美
 " 正員 杉田 修一

1. はじめ 最近、コンクリートの乾燥収縮を大幅に低減可能な有機質混和剤、すなわち収縮低減剤があい次いで開発され、今後の利用への期待が高まっている。著者らの研究によれば、収縮低減剤を適量用いることにより、コンクリートのひびわれ発生が大幅に遅延され、膨張材などとの併用では一層その傾向が強くなりNON-CRACKコンクリートの製造も可能との知見が得られている。これらは、いずれも供試体としてJISの原案に準じた外部拘束フレームを有する無筋コンクリートで得られたものであるが、本研究では、内部に鉄筋を有する場合について、収縮低減剤の種類やシリカフェームの有無などの条件を変え行った外部拘束試験の結果について述べるものである。

2. 実験の概要

コンクリートの配合及び使用材料を表-1及び表-2に示す。用いた収縮低減剤は、アルキレンオキッド系A、グリコエーテル系Bであって、これらはいずれも強力な界面活性効果により間隙水の表面張力を大幅に低下させ、その結果収縮減をはかるものである。これらは、著者らの実験によって添加量7.5kg/m³使用で30~40%の収縮低減が可能であり同一量での効果ではBが優れている。

今回の実験において3.75kg/m³を鉄筋補強供試体に用いた理由は、経済性から低減剤の比較的少ない使用の効果を確認するためでもある。

シリカフェームを検討の対象としたのは最近の高活性ボゾランとしての利用に益するためであり、比較的初期活性が高いためでもある。表-3は試験の組合せを示す。拘束鋼材面積を変えた無筋供試体による実験も併行した。これは収縮低減剤の効果をシリカフェーム混入時においても確認するためである。図-1に用いた試験装置の概要を示した。拘束鋼材を8.8cm²（内部鉄筋供試体）及び21.7cm²（内部鉄筋なし）と変え図のように中央10×10cm断面直線部30cmの外部拘束装置を用い、拘束鋼材、コンクリートおよび鉄筋のひずみ、初ひびわれ及び貫通ひびわれ日数、ひび割れ幅、収縮応力などを測定した。供試体は材令7日まで湿布養生を行った。長さは、ワイヤストレーンゲージ及び埋込みゲージとホイットモアゲージを併用して測定したが、一部ひび割れ幅の測定にはコンタクトゲージも用いた。尚、同時に円柱供試体を作成し割裂引張強度の測定も行っている。

表-1 示方配合

種/C	標準量 (kg/m ³)					シリカフェーム	w/c
	W	C+P	S	G			
(%)						(%)	(%)
5.8	187	304	707		5~15 15~25	0.22	4 0.21
					0.44 0.44		

表-2 収縮低減剤及びシリカフェームの品質

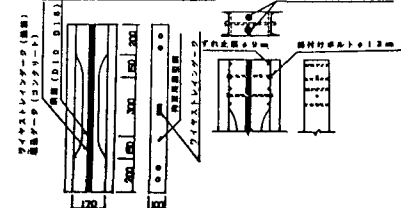
種類	名称	外観	比重	粘度	PH	界面活性	引張	弾性率
A	アルキレンオキッド系	無色透明液体	1.01	約10 ³ (20℃)	6	7.5kg/m ³	水に混濁	1.45
B	グリコエーテル系	透明色の液体	1.04	---	---	モリノ豆乳の1~1.5倍	水に混濁	3.0~3.8

種類	名称	比重	比表面積 (cm ² /g)	化学組成 (%)					
				SiO ₂	Al ₂ O ₃	Fe ₂ O ₃	CaO	MgO	C
シリカフェーム	ボゾラン	2.03	2.0×10 ⁴	90.0	0.3	3.1	0.3	0.3	1.5

表-3 実験計画

項目	収縮低減剤		シリカフェーム	拘束鋼材		層数
	A	B		8.8	21.7	
	○	○		○	○	
I	○	○	○	○	2	13
	○	○	○	○	2	
	○	○	○	○	1	
	○	○	○	○	1	
II	○	○	○	○	2	10
	○	○	○	○	2	
	○	○	○	○	2	
	○	○	○	○	2	

図-1 鉄筋入拘束試験装置



3, 結果及び考察

表-4に試験結果の一覧を示した。これより初ひび割れ発生日数に関しては、収縮低減剤の添加及び鉄筋の有無の影響を受けず、ほぼ一定になっている事、貫通ひび割れ発生は収縮低減剤の添加により内部鉄筋のある場合も確実に遅延している事、内部鉄筋を有する場合の最大収縮応力時の拘束率は鉄筋量の多いほど増加の傾向にあること、最大収縮応力と引張強度の比は約6~8割の間にある事などが認められる。図-2より、拘束鋼材（内部鉄筋無し）の面積が変化しても収縮低減剤の効果は変わらず、シリカフェームの混入はひび割れを速める傾向が伺える。図-3より、内部補強鉄筋の面積が増加しても貫通ひび割れ発生日数に一定の傾向は見いだせず、鉄筋の有無に関係なく、収縮低減剤の添加によって一定日数ひび割れ発生が遅延する傾向に有ることが分かる。図-4は収縮応力の発生が収縮低減剤の添加で遅延する様相を示している。図-5は、収縮低減剤As20添加時の外部拘束鋼材のひずみおよび鉄筋ひずみと材令の関係を示したものである。拘束鋼材のひずみは、内部鉄筋を有しない場合には貫通ひび割れ発生と共に急速に零に低下するが、内部鉄筋のある場合はひび割れ後も拘束は完全に解放されず、その後の収縮ひずみの増加により他の位置にひび割れが発生すると考えられる。内部鉄筋のひずみもほぼ鋼材ひずみに対応しており、ひび割れ後も確実に収縮応力を受け持っていることが分かる。図-6にはひび割れ幅の増加と材令の関係を示した。鉄筋量が増加するとひび割れ幅は低下するが、収縮低減剤を用いないD16を有する場合のひび割れ幅は貫通後30日で0.25mmに対し、用いた場合には0.15mm (As20)、0.07mm (ヒビガード)と相当に抑制されていることが分かる。この様に、内部鉄筋の補強のある場合、収縮低減剤の効果は損なわれず、有利な面の有ることが確認されたと言える。

表-4

No.	種	ひび割れ発生日数 (日)	ひび割れ発生時				ひび割れ発生時		引張強度 (kgf/cm ²)	拘束率 (%)
			自由端 (mm)	200mm (mm)	300mm (mm)	400mm (mm)	ひび割れ長さ (mm)	ひび割れ幅 (mm)		
1	6	22	34.8	9.9	17.0	71.1	0.08	0.33	23.2	A E 剤
2	8	23	35.0	11.0	18.0	68.6	0.06	0.27	23.4	D10
3	8	27.5	37.7	7.4	19.8	79.9	0.04	0.24	23.8	D16
4	5	34.5	19.2	7.9	14.6	58.9	0.05	0.21	25.9	A s 20 3.75
5	7	42	27.0	8.0	17.2	70.4	0.04	0.18	26.5	D10
6	5	37	23.0	8.2	22.5	68.0	0.03	0.15	26.2	D16
7	7	32	27.0	10.5	14.9	61.2	0.04	0.10	25.0	A s 20 F 3.75
8	9	32	27.0	7.9	15.2	70.8	0.035	0.095	25.0	D10
9	7	26	20.5	8.8	17.5	57.1	0.02	0.07	24.3	D16
10	4	6	16.3	3.7	18.9	77.0	0.03	0.165	26.0	A s 20 F 3.75 + A s 20
11	7	19	20.6	4.5	18.9	78.0	0.03	0.165	35.1	A s 20 F 3.75 + A s 20
12	3.5	18	14.9	4.6	20.0	69.2	0.03	0.105	28.5	A s 20 F 3.75 + A s 20
13	6	13	28.5	10.9	23.6	61.8	0.06	0.26	28.2	A s 20 F 3.75 + A s 20
14	7	32	35.5	7.7	16.2	78.3	0.05	0.09	29.0	D10
15	7	26	34.8	6.0	15.6	83.5	0.07	0.075	28.7	D16
16	8	29	23.5	6.5	16.9	72.3	0.05	0.16	31.6	A s 20 F 3.75 + A s 20
17	9	40	34.5	10.3	16.9	70.2	0.09		33.1	D10
18	9	41	34.7	6.3	16.3	84.5	0.08		33.3	D16

